

С.К. Асланов, А.И. Стручаев

*Одесский национальный университет им. И.И. Мечникова, Украина*

## КИНЕТИКА ВТОРИЧНОГО ДИСПЕРГИРОВАНИЯ В ГАЗО-КАПЕЛЬНЫХ СМЕСЯХ И ТЕОРИЯ ГЕТЕРОГЕННОЙ ДЕТОНАЦИИ

Выполнено замкнутое теоретическое построение для стационарного распространения детонационного процесса в аэровзвеси жидкого горючего. Произведен теоретический анализ механизма диспергирования поверхности капли под действием аэродинамических факторов, возникающих при ее обтекании потоком газа. Построено уравнение кинетики разрушения капли и дана аналитическая оценка преобладающего диапазона средних размеров капель образующейся вторичной дисперсии.

**гетерогенная детонация, вторичное диспергирование, вязкая гидродинамическая неустойчивость**

В работе в отличие от предыдущих исследований по идеальной неустойчивости [1, 2], рассмотрена задача вязкой неустойчивости дробления капель в потоке [3, 4].

При прохождении ударной волны по аэровзвеси капель горючего каждая взвешенная капля будет увлекаться спутным течением газа под действием возникающей аэродинамической силы, которая сообщит ей ускорение  $W_0$ . Обладая инерционностью, капля попадает в условия обтекания газовым потоком, набегаящим на нее со скоростью  $V_0$  (рис. 1).

Пока величина  $V_0$  сохраняет сверхзвуковое значение, перед каплей присутствует соответствующая ударная волна. Малая объемная доля ( $\leq 0,1\%$ ) взвеси горючей жидкости при детонации аэрозоля позволяет отвлечься от рассмотрения взаимодействия соседних частиц и сосредоточить внимание на взаимодействии индивидуализированной капли с окружающим газом.

В таком случае можно пользоваться упрощенной локальной схемой плоского тангенциального течения (рис. 2).

Связывая систему отсчета с движущейся каплей, направим ее оси  $(x, y)$  по касательной и нормали к невозмущенной поверхности раздела сред  $y = 0$ . Местное действие инерционных сил будет обусловлено нормальной составляющей вектора ускорения

$$W = W_0 \cos \phi, \quad 0 \leq \phi < \pi/2.$$

Потоки жидкости ( $y < 0$ ) и газа ( $y > 0$ ) сопрягаются законом совпадения вязкого касательного напряжения на их границе, так, что изображенный на рис. 2 локальный профиль распределения скоростей основного течения характеризуются относительно малым градиентом в жидкости за счет малой вязкости газа.

Проведем анализ предельных случаев, изображенных на рис. 2 пунктирами *a* и *б*.

Первый из них – модель постоянного градиента (ПГ-модель) дает асимптотическое представление истинного профиля вблизи жидкой поверхности и описывает явление масштаба меньше толщины  $\delta$  пограничного слоя в обтекающем газе ( $\lambda/\delta < 1$ ), где  $\lambda$  – масштаб периодического волнообразования. Для описания масштабов явлений, соизмеримых с  $\delta$  ( $\lambda/\delta \sim 1$ ), служит вторая асимптотика – модель тангенциального разрыва (ТР-модель), когда локальная скорость газового потока  $V$  сохраняет постоянное значение непосредственно до поверхности жидкости. Тем самым величина  $V = V(\phi)$  приобретает смысл распределения скорости вдоль поверхности капли при ее обтекании потоком идеального газа. При описании явлений, соизмеримых с  $\delta$ , необходимо использовать истинный ха-

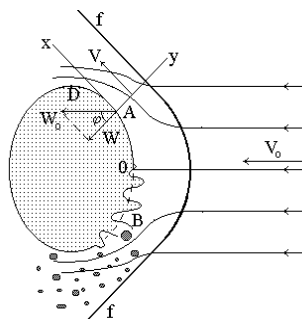


Рис. 1. Картина обтекания крупной капли исходной аэрозвеси (ff – ударная волна)

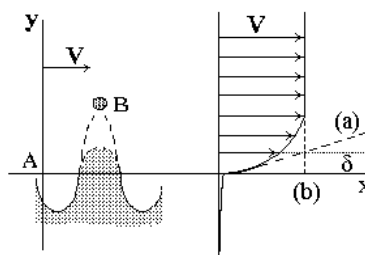


Рис. 2. Локальная схема волнообразования и диаграмма скоростей основного течения

рактер вязкого течения, который включает в себя уменьшение градиента скорости газа до его исчезновения с удалением от капли и поэтому занимает промежуточное положение (сплошная кривая) между двумя предельными моделями. Каждая из них включает область  $y < 0$  первоначально неподвижной жидкости с плотностью  $\rho$ , вязкостью  $\mu$  и поверхностным натяжением  $\sigma$ . В случае ПГ-модели к ней примыкает стационарный поток ( $y > 0$ ) идеального газа плотности  $\rho_g$  с линейным профилем скорости ( $yV/\delta$ ), а в случае ТР-модели она сопрягается с однородным потоком скорости  $V$ . Естественно, что оценку влияния сжимаемости газа имеет смысл сделать лишь во втором случае.

Возмущенные состояния (вязкая жидкость и идеальный газ) складываются из возмущений давления-скорости ( $f = 1$ ) и диффузии вихря ( $f = \sqrt{1 - i\omega/k^2\nu}$ ), где  $\nu = \mu/\rho$ , а во втором ( $y > 0$ ) – присутствует только возмущение давления-скорости в форме  $f = -1$ . Сопряжение состояний на границе раздела  $y = 0$  осуществляется кинематическими условиями совпадения нормальных составляющих скоростей сред и самой границы

$$V'_{1y} - jV \frac{\partial \varepsilon}{\partial x} = V'_y = \frac{\partial \varepsilon}{\partial t} \quad (1)$$

и динамическими законами непрерывности нормального и касательного напряжений

$$\begin{cases} p'_1 - \rho_g W \varepsilon = p' - \rho W \varepsilon + 2\mu \frac{\partial V'_y}{\partial y} - \sigma \frac{\partial^2 \varepsilon}{\partial x^2}; \\ \frac{\partial}{\partial x} \left( V'_y - \frac{\partial \varepsilon}{\partial t} \right) + \frac{\partial V'_x}{\partial y} = 0, \end{cases} \quad (2)$$

где  $j = 0$  и  $j = 1$  соответствует ПГ- и ТР-моделям,  $V_x, V_y$  - компоненты скорости, нижний индекс «1» отвечает области газового течения, штрихом обозначены возмущения.

Подстановка решений для возмущений в (1), (2) дает уравнение для определения собственных значений  $\omega$  рассматриваемой задачи:

$$\begin{aligned}
& (\gamma+1)u^2 + (3\beta + i\gamma q_j V_s)u + 2\beta^2(1 - \sqrt{1+u/\beta}) = \alpha_j; \\
& q_j = 2j + (1-j)/\delta_k; \quad \alpha_j = \alpha + j\gamma V_s^2; \quad \alpha = 1 - \gamma - \sigma k^2/\rho W; \\
& u = -i\omega/\sqrt{kW}; \quad \beta = \nu k^{3/2}/\sqrt{W}; \quad V_s = V\sqrt{k/W}; \quad \delta_k = k\delta; \quad \gamma = \rho_g/\rho.
\end{aligned} \tag{3}$$

Вблизи экватора капли Д ( $\phi \sim \pi/2$ ) ускорение  $W = W_0 \cos(\phi)$  значительно уменьшается, и главная роль принадлежит скорости обтекания  $V$ , что требует пересчета безразмерных величин:

$$u_{eq} = -i\omega/kV; \quad \beta_{eq} = \nu V/V; \quad \alpha_{jeq} = (1-\gamma)W/kV^2 - \sigma k/\rho V^2 + j\gamma, \tag{4}$$

уравнение (3) сохраняет свой вид, если положить  $V_s = 1$ . Решение уравнения (3) для обеих предельных моделей ( $j = 0; 1$ ) может быть получено асимптотически при  $\beta \ll 1$  и  $\beta \gg 1$  в степенном виде:

$$u_{j0} = \sqrt{\alpha_j} - \frac{3}{2}\beta - \frac{1}{2}i\gamma q_j V_s \left(1 - \frac{3}{2}\frac{\beta}{\sqrt{\alpha_j}}\right) + O\left(\beta^{3/2}\right); \tag{5}$$

$$u_{j\infty} = \frac{\alpha_j}{2\beta} \left(1 - \frac{5}{16}\frac{\alpha_j}{\beta^2}\right) - \frac{1}{4\beta^2}i\gamma q_j V_s \alpha_j \left(1 - \frac{15}{16}\frac{\alpha_j}{\beta^2}\right) + O\left(\frac{1}{\beta^5}\right), \tag{6}$$

где можно отбросить величину  $\gamma \sim 10^{-3}$  и члены  $O(\gamma^2)$ . При  $V_s = 1$  (5) и (6) описывают решения в экваториальной области параметров (4). Из положительности вещественной части ( $-i\omega$ ), т.е.  $\alpha_j > 0$  вытекают неравенства:

$$k < k_j; \quad k_j = j\rho\gamma V^2/2\sigma + \sqrt{\left(j\rho\gamma V^2/2\sigma\right)^2 + \rho W/\sigma}, \tag{7}$$

поскольку  $k > 0$  ( $k_0 < k_1$ ). Его величину, соответствующую асимптотическому пределу  $\beta = 1$ , обозначим

$$k_* = \left(W/\nu^2\right)^{1/3}; \quad \beta(k_*) = 1. \tag{8}$$

При распространении детонации в топливном аэрозоле слабовязких жидкостей капли горючего приобретают за лидирующим фронтом ускорения  $W_0 \sim 10^6 \div 10^7 \text{ м/с}^2$  и скорости обтекания  $V > 10^3 \text{ м/с}$  и, согласно (7) и (8), реализуется случай  $k_0 < k_* < k_1$ . Тогда из характера поведения асимптотик (5) и (6) неустойчивость ПГ-модели ( $j = 0$ ) может иметь место только в случае  $\beta \ll 1$ , а для ТР-модели ( $j = 1$ ) при обеих асимптоти-

ках. Однако вторая асимптотика  $k \gg k_*$  для ГР-модели содержит в себе неустойчивость, которая связана с характерным размером  $\lambda \sim 1/k \ll 1/k_* \approx 10^{-6}$  м. Этот размер оказывается меньше толщины пограничного слоя  $\delta$  в обтекающей каплю газе и оценивается с учетом сферичности капли как:

$$\delta \cong 2,5\sqrt{v_1 d_0 / V_0}, \quad v_1 = \mu_g / \rho_g, \quad V \approx 3/2 \cdot V_0 \sin(\phi), \quad (9)$$

Для реальных значений  $v_1 \approx 1,4 \cdot 10^{-5}$  м<sup>2</sup>/с и  $d_0 \sim 1$  мм выражение (9) дает  $\delta \sim 9 \cdot 10^{-6}$  м, что намного превосходит  $1/k_*$  и характерный размер  $\lambda$ , и свидетельствует о непригодности асимптотического подхода  $\beta \gg 1$  при анализе неустойчивости ГР-модели. Приемлемой остается асимптотика  $\beta \ll 1$  ( $k \ll k_*$ ) в обеих моделях ( $j = 0; 1$ ), могущих претендовать лишь в качестве предельных оценок с двух сторон, поскольку масштаб  $1/k_0$  соизмерим с величиной  $\delta$ . Вблизи экватора капли  $\phi \sim \pi/2$ . и реализуется случай  $k < k_{*eq} = V/v$ . когда возможна неустойчивость лишь асимптотики  $\beta_{eq} \ll 1$ . Для вязких жидкостей неустойчивости обеих моделей и асимптотик становится возможной для случая  $k_* < k_0$ .

При дозвуковых значениях местной скорости обтекания капли  $V$  давление в потоке газа над выпуклостями волнообразования **В** будет убывать, а над впадинами **А** – нарастать за счет соответствующего ускорения и замедления газового потока. Это приведет к дальнейшему вытягиванию всплесков жидкости и углублению впадин. В сверхзвуковой зоне, возможной вблизи экватора капли **Д** (рис. 1), вследствие торможения потока на выпуклостях возникнут нестационарные тройные ударно-волновые конфигурации, которые будут дробить поверхностный слой жидкости.

Сформулированные требования максимума дают следующие три условия ( $l = 0; 1; 2$ ) для определения диапазона наиболее вероятных чисел  $k$ :

$$dF_l^j / dk = 0; \quad d^2 F_l^j / dk^2 < 0, \quad (10)$$

где  $F_0^j = \text{Re}(-i\omega)$ ;  $F_1^j = k \exp(F_0^j \tau_{jm})$ ;  $F_2^j = \text{Re}(\omega)$  соответственно для инкремента нарастания амплитуды возмущений, крутизны профиля волнообразования и частоты колебаний.

Действительно, внутри области значений  $k$  между максимумами  $k = k_{ml}^j$  уменьшение одной из величин  $F_l^j(k)$  компенсируется увеличением другой, сохраняя тем самым относительно благоприятные условия для отрыва вторичных капелек, а вне этих интервалов тенденция к уменьшению является общей для  $F_l^j$ .

Рассмотрим случай детонации взрывовязкой горючего слабовязкой жидкости (5). Из нее вытекает, что главный член частоты  $F_2^j(k)$  не зависит от  $k$  для ПГ-модели и является линейно возрастающей функцией для ТР-модели, искать решение  $k_{ml}^j$  уравнения (10) для максимума функций  $F_l^j (l = 0; 1)$  из представления (5) асимптотически по степеням параметра  $b = v\sqrt{\rho k_{m*}^j}/\sigma$ , где

$$k_{m*}^j = j\gamma\rho V^2/3\sigma + \sqrt{(j\gamma\rho V^2/3\sigma)^2 + \rho W/3\sigma} < k_j \quad (11)$$

точка максимума  $F_0^j$  при  $b = 0$  ( $v = 0$ ). В результате можно найти:

$$k_{ml}^j = k_{m*}^j \left[ 1 + lA_0^j - \left( 3\sqrt{2 - B^j} / (3 - B^j) - lA_1^j \right) b + \dots \right]; \quad B^j = j\rho\gamma V^2 / \sigma k_{m*}^j, \quad (12)$$

где  $A_0^0 \approx 0,36$ ;  $A_1^0 \approx 1,25$ ;  $A_0^1 \approx 0,21$ ;  $A_1^1 \approx 0,75$ . Величина  $A_1^0$  выражается через  $A_0^0$ , которая является корнем некоторого иррационального уравнения. Аналогично находят  $A_0^1, A_1^1$ , причем,  $2 - B^j \sim \alpha_j(k_{m*}^j) > 0$ , поскольку выражение (11) всегда удовлетворяет условию неустойчивости (7). Таким образом, В случае ПГ-модели обтекания ( $j = 0$ ) наиболее вероятна локальная реализация промежутка неустойчивых волновых чисел

$$k_{m0}^0 < k < k_{m1}^0, \quad (13)$$

удовлетворяющего требованию асимптотики  $k \ll k_*$  для практических параметров.

В случае ТР-модели ( $j=1$ ) обе максимальные точки  $k_{ml}^1 \gg k_*$  располагаются за пределами асимптотической области, так что внутри нее обе функции  $F_l^1(k)$  ( $l = 0; 1$ ) будут возрастающими. Для отрыва вторичных

капель с поверхности исходной благоприятна правая зона интервала, допустимого асимптотикой  $k \ll k_*$ . Увеличение интенсивности сил инерции в виде возрастающей функции частоты  $F_2^1(k)$  колебательной неустойчивости позволяет ослабить последнее неравенство и совместно с (13) принять в качестве двусторонней оценки для доминантного диапазона локальных (по  $\phi$ ) параметров разрушения капли

$$k_{m0}^0 < k < k_*. \quad (14)$$

Несмотря на преимущество левой части этой области в силу асимптотики  $k \ll k_*$ , удаление от границы  $k_{m0}^0$  усиливает физическую адекватность ПГ-модели. Вблизи экватора капли, где приемлема асимптотика  $\beta_{eq} \ll 1$ , ПГ-модель непригодна для объяснения дробления, обеспечивая только неустойчивость слишком длинноволновых возмущений. Для ТР-модели имеется промежуток между максимумами  $F_0^1$  и  $F_1^1$ , однако главный член левой границы  $k_{m*}^{1eq} \approx 1,5\gamma\rho V_0^2/\sigma \approx 5 \cdot 10^7$  1/м отвечает масштабу  $\lambda \sim 1/k \approx 2 \cdot 10^{-8}$  м  $\ll \delta$ . Следовательно, адекватность модели, если и возможна, то лишь начиная с  $\lambda \sim \delta$ , не добавляя ничего нового к найденному диапазону (14). Осреднение интервала (13), как это сделано в [5], дает для границ неравенства  $\lambda_{m0}^0 < \lambda < \lambda_*$ , диапазон среднего значения доминантной волны, позволяющего оценить среднеобъемный размер вторичной дисперсии

$$6 \left( \frac{v^2}{W_0} \right)^{1/3} < \langle \lambda \rangle < 8\sqrt{3} \left( \frac{\sigma}{\rho W_0} \right)^{1/2} \left[ 1 + \frac{2\sqrt{2}}{\sqrt[4]{3}} \left( \frac{\rho W_0}{\sigma^3} \right)^{1/4} v \right]. \quad (15)$$

Величина скорости убыли массы отдельной исходной капли аэрозоля  $m(t)$  оценивается средним значением за промежуток времени  $\Delta t$

$$dm/dt = -A(t)(\Delta m/\Delta t), \quad (16)$$

где  $A(t)$  – некоторая корректирующая функция.

Предполагая отрыв капелек с поверхности послойным, в качестве  $\Delta t$  естественно использовать время срыва слоя массой  $\Delta m \approx 2\pi R^2 \rho d_l$ . Тогда масштаб промежутка  $\Delta t$  можно оценить характерным временем развития

неустойчивости поверхностного волнообразования  $t_u = 1/F_0^j(k)$  для доминантного диапазона (15):

$$\langle t_u^0 \rangle = \frac{1}{2\pi k} \frac{\sqrt{3}}{\sqrt[4]{2}} \frac{\Gamma^2(1/8)}{\Gamma(1/4)} \left( \frac{\rho}{3\sigma W_0} \right)^{1/4}, \quad (17)$$

где  $\Gamma(\xi)$  – гамма-функция.

Во введенной расчетной схеме можно применить закон Срезневского для линейного изменения площади поверхности  $S$  испаряющейся капли [6], понимая под  $S$  площадь диспергируемой передней стороны поверхности капли при средней по времени диспергирования скорости убывания ее площади  $a_S$  и времени полного разрушения капли  $t_b$  ( $R_0 = R(0)$ ,  $R(t_b) = 0$ ):

$$dS/dt = -a_S = \text{const} \quad \text{или} \quad R^2/R_0^2 = 1 - \tau, \quad \tau = t/t_b. \quad (18)$$

Подставляя последнее в (16), получим следующее уравнение:

$$dm/dt = -Bm_0\tau(1 - \tau); \quad B = 3A_1(d_l/d_0)(t_b/\langle t_u \rangle), \quad m_0 = \pi d_0^3 \rho / 6$$

После интегрирования и удовлетворения условий  $m(0) = m_0$  и  $m(t_b) = 0$  находим, что  $B = 6$ , и окончательно выражаем закон диспергирования капли в скоростном потоке газа

$$m/m_0 = 1 - \tau^2(3 - 2\tau); \quad t_b/\langle t_u \rangle = 2d_0/(A_2\langle \lambda \rangle), \quad A_2 = (A_1/n)(d_l/d_\lambda). \quad (19)$$

Таким образом, полученная теоретическая закономерность (19) хорошо совпадает с известной эмпирической зависимостью [7]:

$$m = 0,5m_0(1 + \cos(\pi\tau)).$$

Для оценки величины коэффициента  $A_2$  можно воспользоваться данными измерений времени  $t_b$ . Увеличение вязкости жидкости должно приводить к снижению скорости диспергирования капли (16), т.е. к уменьшению значения множителя  $A_1$ . Увеличение же при этом размера  $d_l \sim d_\lambda \approx (\langle \lambda \rangle / n)$  согласно (15) будет компенсировать изменение  $A_1$ , так что произведение  $A_1 d_l = A_2 \langle \lambda \rangle$ , а значит, отношение  $t_b/\langle t_u \rangle$  можно считать практически не зависящим от вязкости. Промежуток индукции начала разрушения капли пропорционален характерному времени нарастания амплитуды неустойчивого волнообразования  $\langle t_u \rangle$ . Нетрудно убедиться,



что оба конца доминантного интервала волновых чисел (14) т.е. обе модели  $j = 0; 1$  обеспечивают возрастание масштабом вязкости. Тем самым предложенный позволяет теоретически объяснить соответствующую зависимость промежутка индукции и время, как известная модель срыва пограничного приводит к обратной зависимости этих величин.

Применим одномерную расчетную схему для химических процессов и термо-газодинамической детонационной зоны протяженностью  $L$ , стационарно распространяющейся по взрыву со скоростью  $D$ . Кинетика задавалась в виде задержки воспламенения по закону Аррениуса  $\tau_{ch} = B_{ch} \exp(E/R_*T_1)$ , где  $E$  – энергия активации,  $T_1$  – среднеобъемное значение температуры.

С учетом сделанных упрощений в релаксационной зоне будем иметь течение двухфазной, пятикомпонентной двухскоростной и двухтемпературной реагирующей среды. Система уравнений для расчета структуры этого течения в координатах  $x$ , отсчитываемых относительно фронта детонации, аналогична приведенной в [7]. Задача о стационарном распространении детонации математически замыкается обязательным требованием, чтобы поток газовой фазы имел возможность достигнуть звуковой скорости ( $M = 1$ ) с дальнейшим переходом в сверхзвуковую область. Собственные значения задачи будут служить в качестве искомым величин скорости  $D$  самоподдерживающихся режимов детонации.

Выполненный расчет течения в детонационной зоне не учитывал затраты энергии на работу отрыва вторичных капелек и их разгон до скорости газа и перемешивания с окислителем, потери на стенках трубы. В результате этого из всех возможных самоподдерживающихся режимов в переходной области следует ожидать реализации прежде всего режимов с наименьшей скоростью распространения  $D$ . Теплоотвод же в стенки трубы будет наиболее низким при минимальной протяженности  $L_{min}$  детонационной зоны. Противоборство этих тенденций окончательно выделит весьма узкий диапазон оптимального стационарного режима для каждого

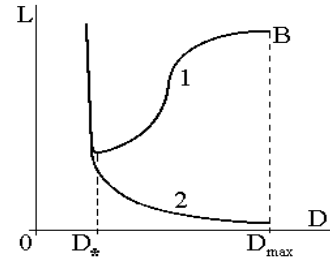


Рис. 3. Вид зависимостей: 1 –  $L(D)$ , 2 –  $x_m(D)$  для  $A_0 = \text{const}$

фиксированного значения параметра  $A_2$ . В силу чрезвычайно резкого подъема кинетической ветви кривых  $L(D)$ , т.е. слева от точек  $L_{\min}$  (рис. 3), указанный диапазон скоростей детонации будет сосредоточен в малой окрестности значения  $D_* = D(L_{\min})$ . Численный подбор неопределенного параметра  $A_2$  (в пределах (1 ... 3)) позволяет обеспечить попадание теоретически найденного диапазона величин скорости детонации взрывов горючего на соответствующие экспериментальные значения [7] во всех трех рассмотренных случаях самоподдерживающегося режима распространения.

### Литература

1. Taylor G.G. Generation of ripples by wind blowing over a viscous fluid // Scientific Papers of G.G.Taylor. – Cambridge University Press. – 1963. – P. 244-254.
2. Асланов С.К., Гирин А.Г. К построению теории детонации аэрозолей // Физика горения и взрыва. – 1988. – № 4. – С. 101-109.
3. Aslanov S.K. Construction of the explosion waves theory for combustible aerosols // J. Aerosol Sci. – 1994. – № 25 (Supp 1.1). – S. 44-45.
4. Гельфанд Б.Е. Современное состояние и задачи исследования детонации в системе капли жидкости-газ // Детонация: Мат. IV Всес. симпозиума по горению и взрыву – М.: Наука, 1977. – С. 28-39.
5. Асланов С.К. Гидродинамическая неустойчивость и математическое моделирование процесса механического разрушения // Вісник ОДУ. – 2000. – Т. 5, вип. 3 (фіз.-мат. науки). – С. 94-102.
6. Sreznovsky B.I. // Journal of Russia Phys.-Chemical Society. – 1882. – № 14. – P. 420-483.
7. Aslanov S.K., Girin A.G. Modelling of spray detonation combustion processes // Archivum Combustionis. – 1991. – Vol. 11, № 3-4. – P. 205-217.

*Поступила в редакцию 17.04.2007*

**Рецензент:** д-р физ.-мат. наук, проф. С.Д. Каим, Одесский национальный университет им. И.И. Мечникова, Одесса.